

## 太白山礦化帶 蓮花—巨道礦山에 있어서의 스카른과 鑛石礦物의 隨伴關係 및 相平衡

尹 碩 奎\*

Skarn-Ore Associations and Phase Equilibria in the Yeonhwa-Keodo  
Mines, Korea

Suckew Yun

**Abstract:** The Yeonhwa (I, II) and Keodo mines, neighboring in the middle part of the Taebaegsan mineral belt, contain three distinct classes of skarn deposits: the zinc-lead skarn at Yeonhwa (I, II), the iron skarn at Keodo south (Jangsan orebodies), and the copper skarn at Keodo north (78 orebodies). The present study characterizes the three classes of skarn deposits mainly in terms of skarn/ore associations examined from chemical compositional point of view, and applies existing quantitative phase diagrams to some pertinent mineral assemblages in these mines.

At Yeonhwa I the Wolam I orebody shows a vertical variation in skarn minerals ranging from clinopyroxene/garnet zone on the lower levels through clinopyroxene (without garnet) zone on the intermediate levels, and finally to rhodochrosite veins on the upper levels and surface. Ore minerals, sphalerite and galena, associate most closely with the intermediate clinopyroxene zone. At Keodo, the Jangsan iron skarn hosted in quartz monzodiolite as a typical endoskarn, shows a skarn zoning, from center of orebody to outer side, magnetite zone, magnetite/garnet zone, garnet clinopyroxene zone, and clinopyroxene/epidote/plagioclase zone. The 78 copper skarn in the Hwajeol limestone indicates a zoning, from quartz porphyry side toward limestone side, orthoclase/epidote zone, epidote/clinopyroxene zone, and clinopyroxene/garnet zone; chalcopyrite and other copper sulfides tend to be in clinopyroxene/garnet zone.

Microprobe analyses of clinopyroxenes and garnets from the various skarn zones mentioned above revealed that the Yeonhwa zinc/lead skarns are characterized by johansenitic clinopyroxene (Hd 25-78, Jo 15-23) and manganeseoan andraditic garnet (Ad 13-97, Sp 1-24), whereas the Jangsan iron skarn at Keodo by Mn-poor diopsidic clinopyroxene (Di 78-93, Jo 0.2-1.0) and Mn-poor grossularitic grandite (Gr 65-77, Sp 0.5-1.0). The 78 copper skarn at Keodo is characterized by Mn-poor diopsidic-salite (Di 66-91, Jo 0.2-1.1) and Mn-poor andraditic grandite (Ad 40-74, Sp 0.5-1.1). The compositional characteristics of iron, copper, and zinc-lead skarns in the Yeonhwa-Keodo mines are in good correlations with those of the foreign counterparts.

Compiling a T-XCO<sub>2</sub> phase diagram for the Jangsan endoskarns, a potential upper limit of temperature of the main stage of skarn formation is estimated to be about 530°C, and a lower limit to be 400°C or below assuming XCO<sub>2</sub>=0.05 at P total=1kb. Applying a published log fS<sub>2</sub>-log fO<sub>2</sub> diagram to the Keodo 78 and Yeonhwa exoskarns, it is revealed that copper sulfides and zinc-lead sulfides do not co-exist stably below log fS<sub>2</sub>=-4 and log fO<sub>2</sub>=-23 at T=400°C and xCO = 1 atm.

### 1. 序 論

過去에 接觸交代礦床이라 불리워오던 鑛床類型을 오

\*延世大学校 地質学科

늘날에는 스카른礦床이라고 널리 불리우고 있다. 스카른礦床의 內容은 主로 石灰珪酸鹽類로 되는 所謂 스카른과 硫化物, 酸化物, 其他 鹽類로 되는 鑛石礦物類로構成되어 있는데 이를 礦物은 一般的으로 帶狀分布를 이

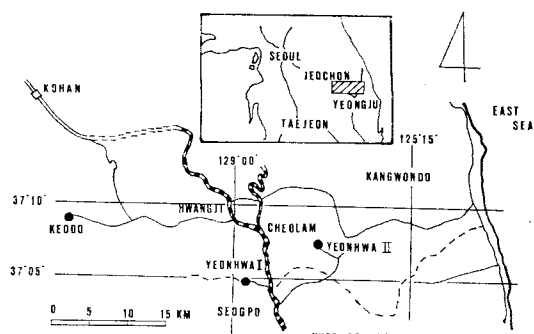


Fig. 1 Location map of the Keodo-Yeonhwa district

는 경우가 많고 어떤 스카른대에 어떤 광석광물이 잘  
伴随되는지에 대하여 最近 많은 研究가 進行되고 있다  
(例 : Zharikov, 1970; Burt, 1972a). 그런데 스카른 광床의  
生成過程을 時間的으로 考慮할 때 많은 研究者들이  
스카른 광物이 先行되고 광석광물이 後行하는 것으로 해  
석하고 있으며 (例 : Shimizu and Iiyama, 1982) 따라서  
광物의 隨伴關係와 相平衡의 問題에 대하여 스카른과  
광석광물을 別途로 다루는 경우가 많다. 例를 들어  
Helgeson et al(1978)에 依한 造岩광物의 熱力學的性  
質에 關한 綜合이나 Lious(1974)에 依한柘榴石/石  
英의 安定性에 關한 實驗的研究는 前者の 경우이고  
Holland(1965)에 依한 主要 광석광物에 對한 热化學的  
性質의 適用에 關한 研究는 後者の 경우일 것이다.

그러나 스카른의 生成過程은 前期의 前進的 脱炭酸  
化作用에서 後期의 後退的 水化作用에 이르기 까지  
連續되고 있으며 一部의 鎌石化作用은 별 셈 前期의 스  
카른화와 併行되기도 하며 (例 : 磁鐵石), 後期의 水化  
作用에 密接히 隨伴되어 스카른을 交代하면서 一定한  
스카른대에 選好的으로 沈澱되는 것이다. 上記 스카른  
化의 前後期를 通하여 金屬元素의 酸化 또는 硫化가 進行됨으로서 이루어진 스카른/鎌石鎌物의 複合體가 果然  
化學的인 平衡狀態下에 있었는지의 如否는 于先 顯  
微鏡的인 判定이 앞서야 하며 아울러 理論的인 可能性  
을 檢討하기 為해서 相律的으로 다루게 되는데 이 問題에 對한 最近의 研究로서는 Burt(1972b), Gamble  
(1982), Burton et al(1982)等을 들수 있다.

本研究에서는 스카른과 鎌石鎌物의 隨伴關係 및 相  
平衡에 關한 問題를 太白山鎌化帶內의 蓮花鎌山과 巨  
道鎌山을 選擇하여 다루어본 것이다 (Fig. 1). 이들 두  
鎌山을 擇한 理由는 蓮花鎌山은 우리나라의 代表的인 鉛,  
亞鉛스카른이고 巨道鎌山은 이와 地質的으로 隣接  
하고 있으며 同一鎌山내에 鐵斯카른과 銅스카른을 併  
有하고 있어 이들 三種의 스카른을 比較할 수 있기 때  
문이다. 蓼花鎌山에 對하여는 筆者の 近作 (例 : Yun,  
1979a; 1982)에서 一部 資料를 使用하였고 野外調査와  
鎌物分析은 主로 巨道鎌山에 對해 集中的으로 實施하  
였다. 本研究에서는 이들 資料를 토대로 하여 上記한  
三種의 스카른鎌床에 있어서의 스카른과 鎌石鎌物의

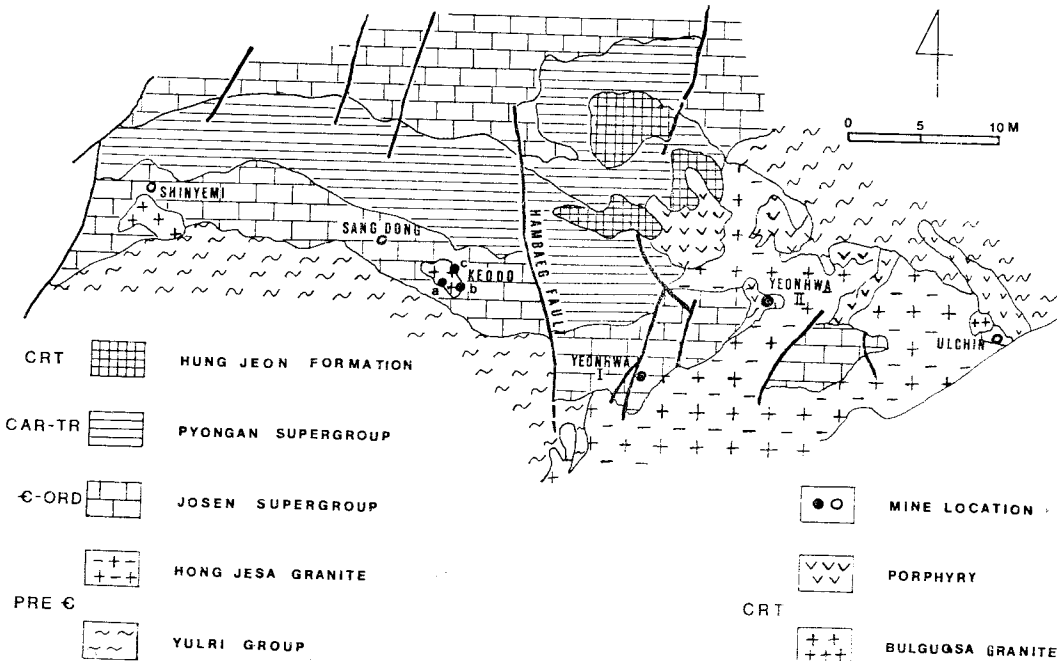


Fig. 2 Regional geology of the Taebaeksan metallogenic belt

隨伴關係를 化學의 側面에서 檢討하였고 相平衡에 對한 簡單한 考察을 試圖한 것이다.

## 2. 地質構成

太白山堆積盆의 南緣에 따라 西側에서 부터 東側으로 向하여 新禮美, 上東, 巨道, 蓮花(第一 및 第二), 蔚珍等 우리 나라 屈指의 鎌山들이 거의 一列로 點在하는 所謂 太白山礦化帶(Fig. 2)는 咸白向斜의 南翼을 이루는 朝鮮系의 石灰質堆積層에 貫入한 白堊紀末 火成岩類와 成因의으로 關聯되어 있는 스카른鎌床群으로 特徵지어진다.

### 2-1 堆積岩類

蓮花—巨道地域에 있어서의 朝鮮系累層은 先Cambrian의 票里統을 不整合으로 덮으며 東西로 길게 延長되나 咸白大斷層에 依해 蓮花地區가 南쪽으로 크게 移動(Fig. 2)되었다. 朝鮮系의 地層은 本域에서 約 1100m의 두께를 가지며 下部로 부터 大陸性 基底礫岩 및 砂岩으로서의 壯山珪岩層, 淺海性 泥質堆積物인 描峯層, 大陸棚 炭酸鹽質堆積物인 豊村石灰岩 및 深海性泥灰質堆積物인 花析層(Yun, 1978)까지가 露出된다. 이들中 蓮花地域에서는 描峯層內의 石灰質狹層에서 豊村石灰岩을 지나 花析層까지가 스카른鎌床의 母岩이고 巨道鎌山에서는 一部 描峯層과 花析層이 스카른化를 받았다.

### 2-2. 火成岩類

巨道地區에 露出되는 所謂 於坪花崗閃綠岩體는 長經 3 km, 短經 2 km의 岩株로서(Fig. 2) 나타나나 成分上 單一火成岩이 아니라 外郭部의 石英 몬조다이오라이트와 中心部에서 이를 貫入한 花崗閃綠岩으로 區分된다(張浩完·朴箕和, 1982). 花崗閃綠岩(?)試料의 黑雲母의 K-Ar年代가 107m. y. (Kim, O. J. 1971), 또는 105m. y. (Farrar et al., 1978)로서 이 岩體의 貫入時期는 白堊紀中期임을 가르킨다. 巨道鎌山에서 磁鐵鎌石을 主로 하는 壯山鎌體와 太白鎌體(Fig. 2에서 a와 b)는 石英 몬조다이오라이트가 스카른化된 內成스카른이고 黃銅石을 主로 하는 78鎌體(Fig. 2에서 c)는 前述한 花崗閃綠岩으로부터 分化된 石英斑岩脈을 關係火成岩으로 하여 花析層이 스카른化된 것이다. 蓮花地區의 灜斑岩은 上部로 퍼지는 2個의 不規則 岩體로서 直徑은 西部岩體가 400 m, 東部岩體가 300 m이다. 西部岩體로 부터의 黑雲母의 K-Ar年代가 213 m. y.(Yun and Sib Silberman, 1979)로서 本岩의 貫入時期가 三疊紀前期임을 가르킨다.

蓮花地區에는 이밖에 小規模의 輝綠岩脈, 石英斑岩脈 및 流紋岩脈이 散發的으로 露出되는데 流紋岩脈을

除外하고는 모두 顯著한 热水變質을 받고 있어 先鎌化岩脈들인 것 같으나 石英斑岩이 菱閃岩石化를 받은 點으로 보아 鎌化에 密接한 關係가 있었던 것 같다(尹碩奎, 朴商範 1979).

## 3. 鎌 床

本 地域內의 鎌床은 모두 스카른鎌床에 屬하나 蓮花鎌山(第1)은 두터운 石灰質 岩層內의 鎌筒型 鉛·亞鉛鎌床으로 代表되는데 比해 巨道鎌山은 南部의 石英 몬조다이오라이트가 鎌化된 內成스카른으로서의 鐵鎌床(壯山鎌體와 太白鎌體)과 北部의 花析層이 鎌化된 外成스카른으로서의 銅鎌床(78鎌體)으로 區分된다.

### 3-1. 蓮花鎌山

蓮花鎌山은 一群의 鎌筒型 塊狀鎌體로 特徵지어졌으며 이들은 鎌體外緣部에 스카른을 隨伴하며 鉛·亞鉛鎌化는 描峯層으로 부터 始作하여 두터운 豊村石灰岩과 花析層을 貫通하여 急傾斜면 賦存된다. 約 20個의 形態의으로는 서로 類似하나 크고 적게 規模를 달리하는 鎌體들이 東北方向과 西北方向으로 V字型을 이루어 配列됨으로서 그들이 하나의 共軛된 裂縫系를 따라 鎌化되었음을 잘 보여주고 있다. 最大的 規模를 갖는 月岩鎌體는 地表露頭에서 -360 Level 까지만 해도 垂直高 480m에 達하며 鎌體는 그 以下로 繼續된다. 이 鎌體는 下部로 부터 上部로 向하여 輝石/柘榴石帶, 輝石帶 및 菱閃岩 石帶로 帶狀分布를 보이며 鎌石礦物인 閃亞鉛石과 方鉛石은 輝石帶에 가장 잘 隨伴된다. 이 밖에 少量의 黃銅石이 隨伴되며 硫化脈石으로서는 磁硫鐵石이 主이고 後期의 黃鐵石 및 白鐵石이 極少量 나타난다. 이 밖에 細緻한 内容에 對해서는 韓甲洙(1969) 및 Yun(1979b)에 이미 發表된 바 있다.

### 3-2. 巨道鎌山

巨道鎌山은 本來 於坪閃綠岩體 南緣部의 壯山鎌體와

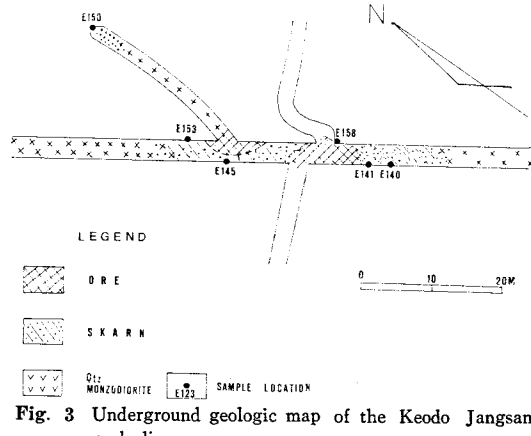


Fig. 3 Underground geologic map of the Keodo Jangsan orebodies

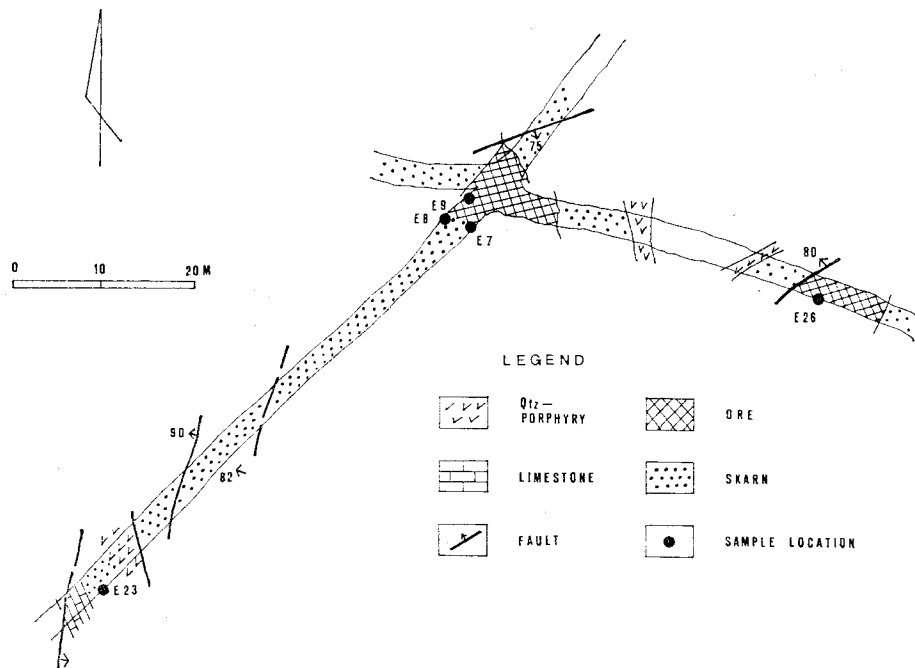


Fig. 4 Underground geologic map of the Keodo 78 orebodies

太白礦體에서 鐵을 主對象으로 하고 銅을 副產物로 稱行하고 있었는데 1978년 鑄振試錐에 依해 同岩體 北部外側에서 銅을 主로 하는 新礦體가 發見되어 이것이 78礦體로 命名되었다. 石英 몬조라이오ライト內의 內成스카른(Fig. 3)인 壯山礦體와 太白礦體에서의 스카른礦物은 柘榴石, 斜輝石 및 綠簾石을 主로 하며 斜長石의 輝石化를 볼 수 있다. 矿石礦物은 磁鐵石이 主이고 少量의 黃銅石이 包含된다. 이에 反해 78礦體는 石英斑岩脈의 貫入을 받은 花析層을 母岩으로 하는 外成스카른(Fig. 4)으로서 스카른礦物로서는 亦是 柘榴石, 斜輝石이 主이며 後生스카른(張·朴, 1982)으로서의 柘榴石, 斜輝石, 綠簾石, 陽起石, 綠泥石, 方解石 및 石英을 包含한다. 矿石礦物로는 黃銅石이 主이고 끗에 따라 斑銅石과 輝銅石을 볼 수 있다. 硫化脈石으로서 黃鐵石 및 磁硫鐵石이 나타난다.

#### 4. 스카른礦物과 矿石礦物의 隨伴關係

스카른礦床을 矿種에 따라서 鐵스카른, 銅스카른, 鉛亞鉛스카른, 텅그스텐스카른, 모리브렌스카른, 錫스카른等으로 分類할 수 있는데 各國에서 알려진 스카른礦床에 關한 綜合資料(Einaudi et al, 1981; Einaudi and Burt, 1982)에 依하면 Table 1과 같다. 其中에서 特徵의인 早期스카른과 矿石礦物의 組合を 注目해 보면 Iron skarn에서는 Ferrosalite, Grandite, Epidote,

Magnetite 이고 Copper skarn에서는 Andradite, Diopside, Chalcopyrite 이고 Zinc-lead skarn에서는 Manganoan hedenbergite, Andraditic garnet, Sphalerite, Galena이다. 本研究에서는 蓮花礦山斗 巨道礦山에 有する 特徵의인 스카른/礦石礦物의 組合과 이들과를 比較하여 그 一致性과 相違性를 찾아보는 것이 그 目的의 一部이다.

#### 4-1. 蓮花礦山

이미 矿床記載에서 言及한 바와 같이 蓮花礦山에서는 月岩礦體의 例에서와 같이 스카른은 矿體下部로 부터 上向으로 柘榴石/輝石帶, 輝石帶, 菱閃石帶의順으로 帶狀分布를 하고 있으며 閃亞鉛石, 方鉛石은 特히 輝石帶에 잘 隨伴되며 때로는 스카른帶를 넘어서 石灰岩을 交代하기도 한다. 關係火成岩이 不明하고 Mn含量이 높은 스카른(Mn-hedenbergite, Bustamite, Rhodonite, Rhodochrosite)으로 特徵지어지는 事實은 外國의 鉛·亞鉛스카른의 경우와 잘 一致하는 點이다.

#### 4-2. 巨道礦山

石英 몬조라이오ライト를 母岩으로 하는 內成스카른으로서의 太白 및 壯山礦體는 柘榴石과 磁鐵石으로 特徵지어졌고 斜長石이 輝石化되었으며 綠簾石을 包含한다. 이들은 매우 不規則하게 隨伴되나 局部的으로 帶狀分布를 보이기도 하는데 磁鐵礦體를 中心으로 하여 外側으로 柘榴石帶, 柘榴石/輝石帶, 載石/斜長石/綠

Table 1. Major Characteristics of Iron, Copper, and Zinc-Lead Skarns<sup>1</sup>

	Iron	Copper	Zinc-Lead
1. Typical size	5–200% <sup>t</sup>	1–100% <sup>t</sup>	0.2–3% <sup>t</sup>
2. Typical grade	40% Fe	1–2% Cu	9% Zn, 6% Pb, 5 oz/ton
3. Metals associated	Fe, (Cu, Co, Au)	Cu, (Mo, Zn, W)	Ag Zn, Pb, Ag (Cu, W)
4. Associated igneous rocks	Gabbro to Syenite; mostly diorite	Granodiorite to quartz monzonite	Plutons commonly absent; granodiorite, granite
5. Endoskarn	Epidote-Pyroxene Na-silicates	Local: epidote-pyroxene-garnet	Local, but intense: epidote-pyroxene-garnet
6. Exoskarn (Composition)	High in Fe; low in S, Mn	High in Fe, S; low in Al, Mn	High in Fe, Mn, S, low in Al
7. Early minerals	Ferrosilite (Hd 20–80), grandite (Ad 20–95) epidote, magnetite	Andradite (Ad 60–100), diopside (Hd 5–50), Wollastonite	Manganian hedenbergite (Hd 30–90, Jo 10–40) andraditic garnet (Ad 20–100) bustamite, hodonite
8. Late minerals	Amphibole, chlorite, ilvaite	Actinolite (Chlorite, montmorillonoids)	Mn-actinolite, ilvaite, chlorite, dannemomite, rhodochrosite
9. Ore minerals	Magnetite, (Chalcopyrite, Cobaltite, pyrrhotite)	Chalcopyrite, Pyrite, hematite, magnetite, (bornite, pyrrhotite molybdenite, tennantite)	Sphalerite, galena, pyrrhotite, pyrite, magnetite, (Chalcopyrite, arsenopyrite)
10. Pluton morphology	Large to small stocks, dikes	Small stocks, dikes, breccia pipes	If present, stocks and dikes
11. Tectonic setting	Oceanic island arc, Rifted continental margins	Continental margin, Syn-to late orogenic	Continental margin, Syn-to late orogenic

1. Abridged from Einaudi and Burt(1982).

### 簾石帶의 順으로 配列된다.

78礦體에 있어서의 스카른도 이미 鎌床記載에서 言及한 바와 같이 柏榴石과 輝石을 主로 하고 칼리長石 및 綠簾石이 나타난다. 火成岩側에서 石灰岩側을 向하여 正長石／綠簾石帶, 輪石／綠簾石帶, 柏榴石／輪石帶의 順으로 帶狀分布를 보이며 黃銅石을 主로 하는 銅鎌石은 輪石／柏榴石帶에 隨伴된다. 黃銅石은 흔히 黃鐵石을 交代하고 있으며 이들은 또한 斑銅石에 依해 交代되었고 斑銅石은 다시 輪銅石에 依해 交代되었다(張·朴, 1982).

### 4-3 스카른 鎌物의 化學成分과 鎌石金屬의 隨伴關係

스카른과 鎌石鎌物의 隨伴關係를 알아보기 為해서는 大部分이 硅酸鹽固溶體인 스카른鎌物의 化學成分에서 부터 出發해야 한다. 이를 為해 本研究에서는 蓮花鎌山에 對하여는 既存 分析資料(yun, 1979 b ; 1979c)를 使用하였고 巨道鎌山에 對하여는 大部分 輪石斗 柏榴石이 共存하는 試料中에서 각, 10餘個의 鎌物粒子를 Electron Microprobe로 分析하였다. 分析은 日本 早稻

田大學에서 JXA-60을 使用하여 掘居正治氏의 도움으로 이루어졌다. 分析結果는 Table 2, 3, 4, 5에서 보는 바와 같이 蓮花, 巨道壯山 및 巨道 78로 區別하여 提示했는데 서로 顯著한 相違點을 드러내고 있다. Fig. 5는 蓮花鎌山(第1 및 第2)의 分析結果를 表示한 것인데 輪石은 Mn 含量이 높아서 Johansenite分子를 15–23% 까지 包含하며 柏榴石 또한 Mn 含量이 높아서 Spessartine分子를 最高 24% 까지 包含하며 全體的으로 Andradite 쪽으로 치우친 分布를 보인다. 巨道 壯山鎌體의 경우는(Fig. 6) Mg 含量이 매우 높은 輪石(Diopside分子 77~94%)으로 特徵이 되며 柏榴石은 Fe 分이 적고(Andradite 21–33%), CaAl 含量이 높은 Grossular에 가까운(Grossular 65–77%) Garndite이다. 78鎌體의 경우도 亦是 輪石은 Diopside에 가까워(Diopside分子 66–91%) 壯山鎌體의 경우와 類似하나 柏榴石은 Andradite 쪽으로 치우치는 Grandite(Andradite 40–95%)이다. 巨道鎌山에서는 壯山, 78 어느 鎌體를 莫論하고 Mn 含量이 極히 적은 輪石(Johansenite 1% 以下)과

Table 2. Electron Microprobe Analyses of Clinopyroxenes from Jangsan Orebodies

	E145	E150	E153	E158	E140
SiO <sub>2</sub>	53.42	55.34	54.80	54.86	53.95
Al <sub>2</sub> O <sub>3</sub>	0.38	1.92	1.69	0.41	1.30
FeO(total Fe)	3.66	1.49	1.16	5.01	6.83
MnO	0.28	0.05	0.09	0.36	0.20
MgO	15.68	16.27	17.12	13.50	14.35
CaO	26.04	25.93	26.40	25.62	24.34
Total	99.46	100.98	101.31	99.75	100.97
Number of cations on basis of 6 Oxygens					
Si	1.978	1.99	1.957	2.025	1.979
Al	0.017	0.021	0.043		0.056
	(1.994)	(2.000)	(2.000)	(2.025)	(2.035)
Al		0.060	0.028	0.018	
Fe	0.113	0.044	0.035	0.155	0.210
Mn	0.009	0.001	0.003	0.011	0.006
Mg	0.865	0.867	0.911	0.743	0.785
Ca	1.033	0.994	1.013	1.013	0.957
	(2.020)	(1.960)	(1.980)	(1.939)	(1.957)
Mole percent end members					
Diopside	87.63	89.11	93.30	89.10	78.43
Hedenbergite	11.48	10.74	7.49	18.61	20.95
Johansenite	0.89	0.15	0.26	1.23	0.62

Table 3. Electron Microprobe Analyses of Garnets from Jangsan Orebodies

	E145	E150	E153	E158	
SiO <sub>2</sub>	39.40	39.89	39.55	39.95	
TiO <sub>2</sub>	0.42		0.47	0.04	
Al <sub>2</sub> O <sub>3</sub>	17.37	14.73	12.97	16.01	
Fe <sub>2</sub> O <sub>3</sub> (total Fe)	6.80	7.34	9.79	7.75	
MnO	0.22	0.44	0.2x	0.43	
MgO	0.36	0.06	0.21	0.07	
CaO	37.11	36.40	36.32	36.24	
Total	101.68	98.94	99.53	100.49	
Number of cations on basis of 24 oxygens					
Si	5.973	6.230	6.196	6.134	
Al	0.027				
	(6.000)	(6.230)	(6.196)	(6.134)	
Ti	0.048		0.056	0.005	
Al	3.077	2.711	2.394	2.897	
Fe+3	0.776	0.862	1.154	0.895	
	(3.901)	(3.574)	(3.604)	(3.797)	
Mn	0.028	0.058	0.028	0.056	
Mg	0.081	0.012	0.050	0.016	
Ca	6.028	6.109	6.097	5.962	
	(6.138)	(6.179)	(6.175)	(6.034)	

Mole percent end members

Pyrope	1.33	0.19	0.81	0.27
Almandine				
Spessartine	0.46	0.94	0.46	0.93
Grossular	77.09	74.74	65.17	75.09
Andradite	21.12	24.13	33.56	23.71

Table 4. Electron Microprobe Analyses of Clinopyroxenes from 78 Orebodies

	E7	E8	E23	E26	E57.7
SiO <sub>2</sub>	53.42	53.69	54.53	53.16	52.64
Al <sub>2</sub> O <sub>3</sub>	0.38	0.48	1.03	0.81	0.46
FeO(total Fe)	3.66	2.68	6.57	9.02	10.76
MnO	0.28	0.19	0.35	0.24	0.35
MgO	15.68	16.70	13.57	12.19	12.20
CaO	26.04	25.20	25.38	25.28	24.87
Total	99.46	98.94	101.49	100.69	101.28
Number of cations on basis of 6 oxygens					
Si	1.978	1.982	1.993	1.984	1.971
Al	0.017	0.021	0.097	0.016	0.020
	(1.994)	(2.003)	(2.000)	(2.000)	(2.991)
Al			0.037	0.019	
Fe	0.113	0.083	0.201	0.281	0.337
Mn	0.009	0.006	0.011	0.007	0.011
Mg	0.865	0.919	0.739	0.678	0.681
Ca	1.033	0.997	0.994	1.011	0.998
	(2.020)	(2.005)	(1.979)	(1.996)	(2.027)

Mole percent end members

Diopside	87.63	91.20	74.86	68.77	66.17
Hedenbergite	11.48	8.21	24.05	30.47	32.75
Johansenite	0.89	0.59	1.09	0.76	1.08

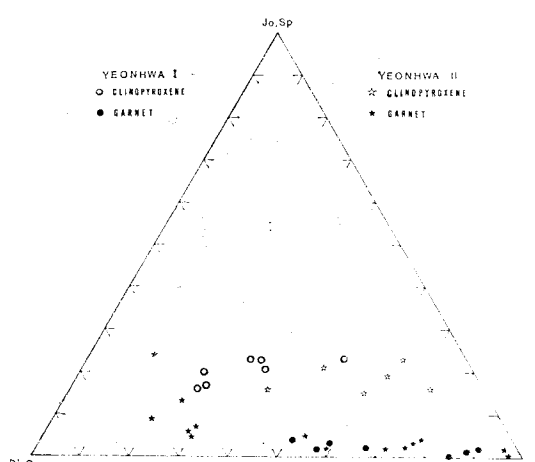


Fig. 5 Compositional distribution of clinopyroxenes and garnets from Yeonhwa (I, II) mine

Table 5. Electron Microprobe Analyses of Garnets from  
78 Orebodies

	E7	E8	E23	E26	E57.7
SiO <sub>2</sub>	37.78	36.48	38.16	38.26	36.70
TiO <sub>2</sub>	1.59	1.81	0.32	0.13	0.71
Al <sub>2</sub> O <sub>3</sub>	11.69	5.86	11.24	8.54	9.90
Fe <sub>2</sub> O <sub>3</sub> (Total Fe)	13.25	22.39	15.52	19.58	18.81
MnO	0.25	0.21	0.35	0.50	0.42
MgO	0.33	0.12	0.15	0.08	0.04
CaO	35.42	33.84	35.10	34.48	34.49
Total	100.29	100.71	100.84	101.57	100.54
Number of cations on basis of 24 Oxygens					
Si	5.841	5.918	6.0131	6.065	5.886
Al	0.159	0.082	(6.000)	(6.000)	(6.000)
Ti	0.313	0.221	0.038	0.016	0.021
Al	2.730	1.039	2.087	1.455	1.575
Fe <sup>3+</sup>	1.241	2.734	1.840	2.335	2.222
(3.924)	(3.994)	(3.965)	(3.946)	(4.000)	
Mn	0.050	0.029	0.046	0.067	0.057
Mg	0.099	0.029	0.036	0.019	0.010
Ca	5.888	5.882	5.926	5.856	5.926
(6.037)	(5.940)	(6.000)	(5.942)	(5.990)	
Mole percent end members					
Pyr	1.65	0.49	0.60	0.32	1.05
Sp	0.83	0.49	0.77	1.13	0.94
Gr	57.93	25.04	51.27	38.97	41.39
Ad	39.59	73.99	47.35	59.59	56.07

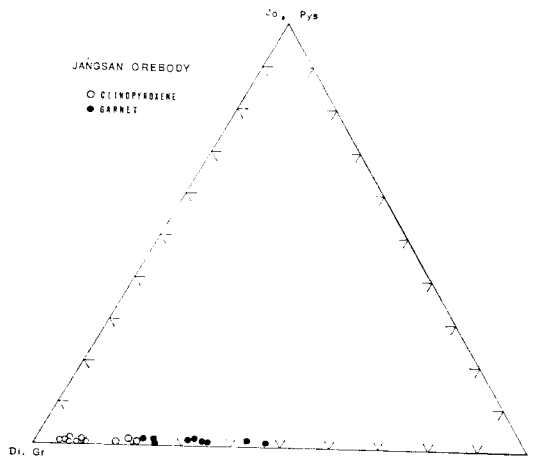


Fig. 6 Compositional distribution of clinopyroxenes and garnets from Keodo Jangsan orebodies

柘榴石(Spessartine 1% 以下)으로 代表되어 蓮花礦山의 경우와는 큰 對照을 보여준다.

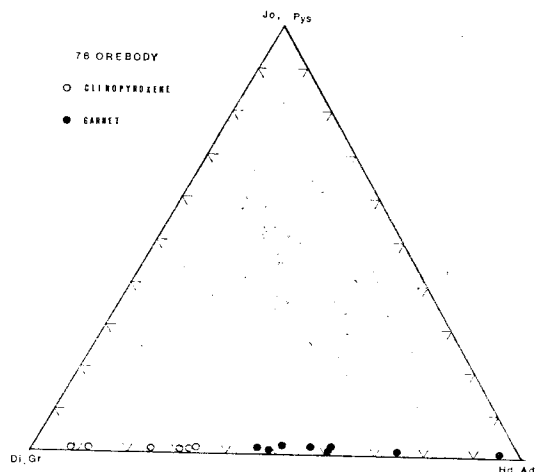


Fig. 7 Compositional distribution of clinopyroxenes and garnets from Keodo 78 orebodies

以上과 같은 蓮花, 巨道壯山, 및 巨道 78에서의 스카른礦物組合과 그들의 化學成分上의 特徵을 몇몇 外國의 경우와 比較하면 蓮花는 日本의 Nakatatshu (Shimizu and Iiyama, 1982)나 美國 New Mexcio 의 Central mining district (Burton et al, 1982.; Einaudi et al, 1982)의 鉛·亞鉛斯카른과 잘 對比가 되며 巨道壯山은 日本의 Kamaishi (Uchida and Iiyama, 1982)나 British Columbia Empire mine (Haug, 1796)의 磁鐵石(銅)스카른과 大體로 對比가 되나 Diopside 쪽으로 끔시 偏重되는 點이 다르다. 78礦體의 斜輝石亦是 Diopside salite이나 이는 日本의 Takiue(Kitamura, 1975)나 美國 Utah의 Bingham(Sweeney, 1980)에서의 銅스카른에서도 마찬가지이고柘榴石이 Andraditic grandite인 點도 모두 잘一致되는 現象이다.

## 5. 스카른—鎌石礦物의 相平衡

最近 Burt(1972)에 依해 硅酸鹽—硫化物의 平衡을 다루기 為하 多成分系 Ca-Fe-Si-C-O-S, CaSiO-Fe-Cu-O-S, CaSiO-Fe-Zn-O-S等의 相平衡에 關한 一聯의 定性的  $\mu\text{O}_2-\mu\text{S}_2$  diagram이 提示됨에 따라 Burton et al(1982), Gamble(1982)等이 그의 定量化를 為한 實驗的 研究結果를 一部 發表하고 있으나 制限된 條件下에서의 結果에 不過함으로 實際로 適用하기에는 未洽한 點이 많다. Einaudi el al(1981)은 地質學的인 現實을 考慮하면서 既存相律資料中에 알맞는 것을 풀어서 綜合相律圖를 작성하는 試圖를 하고 있다.

本研究의 對象地域인 蓮花鉛·亞鉛스카른, 巨道壯山鐵스카른 및 巨道 78銅스카른에 對한 鑿物組合과 相

平衡을 다루는데 있어 각 鑽床의 生成溫度 및 深度等에 關한 測定資料가 沒有 만큼 各 鑽體에 있어서의 特徵의 鑽物組合과 主要스카른의 化學成分을 토대로 하는수 밖에 없다. 于先 鑽스카른으로서의 巨道壯山鑽體를 考慮할때 比較的 鹽基性인 火成岩을 母岩으로 한 內成스카른이 Grossularitic grandite, Diopsidic salite, Epidote, Plagioclase 等으로 特徵지어 있다는 點에 비추어 이들은 다음과 같은 Univariant curves(Gordon and Greenwood, 1971)에 依해 安定域이 區劃될 것이다.

이 경우 광물은 모두 일차적인 것에 한하여 이차적인 Garnet 나 Clinzoicite는 차환에 부재하다.

- (1)  $An + Qz + 2Cc = Gr + 2CO_2$
- (2)  $4Cz + Qz = 5An + Gr + 2H_2O$
- (3)  $2Cz + 3Qz + 5Cc = 3Gr + H_2O + 5CO_2$

여기서  $An$ =Anorthite,  $Qz$ =Quartz,  $Cc$ =Calcite,  $Gr$ =Grossular,  $Cz$ =Clinozoisite.

上記 Univariant reactions에 關與한 石英, 方解石은 主要스카른에 隨伴되어 있으며 反應(1), (3)은 脫炭酸作用이고 反應(2), (3)은 左側으로 進行될 때에 水化作用이다. 따라서 이들 鑽物組合의 定定性을 左右하는 데 있어서  $X CO_2$ 가 重要한 要因이 なる을 알 수 있다. 그리고 이들 鑽物相의 成分系는 Ca-Al-Si-C-O-H 또는 Ca-Mg-Si-C-O-H이고 萬一 壓力を 一定하다고 假定하면 2個의 變數 即 T-XCO<sub>2</sub> 또는 log f<sub>O2</sub>-T의 關係로 相의 平衡을 다룰 수 있다. 먼저 壓力問題인데 太白山鑽化帶에 따라 貫入한 火成岩類들은 大部分 小規模의 岩株들로서 比較的 地表가까이에 貫入한 것으로 料된다. 特히 壮山鑽體의 關係火成岩으로 볼 수 있는 花崗閃錫岩은 大體로 斑岩質인 點으로 보아 貫入深度數 km以下일 것이다. 이 程度의 depth라면 壓力은 1K bar內外로 推算된다(Lusk and Ford, 1978). 다음은  $X CO_2$ 인데 Taylor and O'Neil, (1977); Huang, (1976)에 依하면 石灰岩의 變質交代時 그 内部를 流通하는 流體의  $X CO_2$ 는 比較的 낮아서 0.1以下인 만큼 石英 몬조아이오라이트內에서의  $X CO_2$ 는 이보다 낮을 것으로 料된다.

Fig. 8은 既述한 成分系中 Ca-Al-Si-C-O-H系의 全壓 1 K bar下에서의 T-X CO<sub>2</sub>圖로서 上記한 3個의 Univariant curves가 一點에서 만나는 C點의  $X CO_2$ 는 約 0.05이고 溫度는 約 450°C이다. 壮山スカ른에서 Wollastonite가 發見되지 않음으로 溫度의 上限(point A)은 約 530°C이고, Tremolite가 發見되지 않으며 Clinopyroxene은 Diopsidic 하기는 하나 Hedenbergite分子를 7.5~21% 包含하므로 溫度의 下限은 400°C를 下廻할 것이며 스카른段階를 뒤따르는 硫化

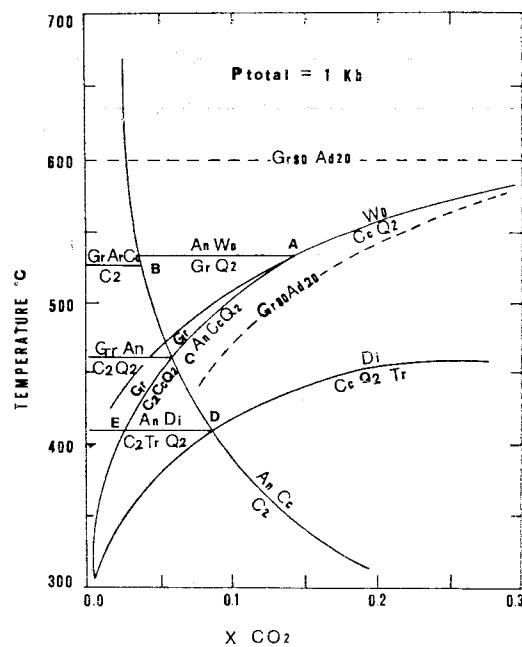


Fig. 8 Isobaric T-XCO<sub>2</sub> diagram for the system Ca-Al-Si-C-O-H at a total pressure of 1 Kb. Equilibria related to invariant point A, B, and C are from Gordon and Greenwood (1971); invariant point D is from Uchida and Iiyama (1982); Potential univariant curves for Gr 80 Ad 20 are from Taylor and Liou (1978). For abbreviation, see text.

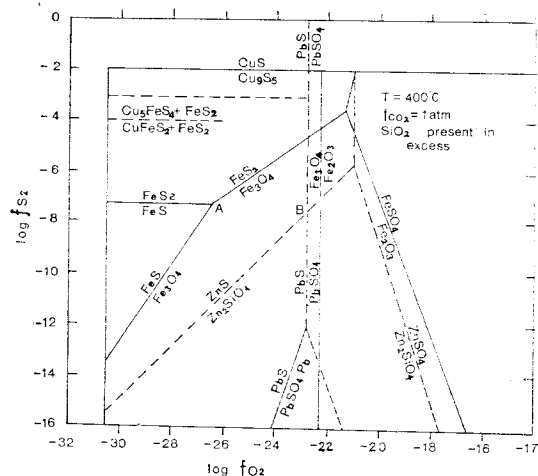


Fig. 9 Log fS<sub>2</sub>-fO<sub>2</sub> diagram for the system Fe-Cu-Zn-Pb-Si-S-O at T=400°C and fCO<sub>2</sub>=1 atm. Adopted from Holland (1965).

段階에서 溫度는 더욱 下降할 것이다.

巨道 78鑽體의 경우도 스카른鑽物의 化學成分에 있

어서 輝石은 壯山礦體의 그것과 類似하고 單至 柏榴石이 좀더 Andraditic 한 點으로 보아 Fig. 8 내의 Univariant curve,  $An+Q+2Cc=Gr+2CO_2$ 의 位置가 低溫쪽으로 下降( $X CO_2$ 가 一定할때)하게 되며 同礦體에서 柏榴石의 化學成分이 平均 Gr40 Ad60程度임으로 Invariant point C의 溫度는 約 400°C 또는 그 以下로 떨어지게 되며 이때의  $X CO_2$ 는 0.1에 가까워진다.

따라서 黃銅石, 斑銅石, 輝銅石, 黃鐵石, 磁硫鐵石等으로 構成되는 硫化礦物의 平衡關係를 알아보기 為해서는 Fig. 9와 같은 Holland(1965)의  $\log fS_2 - \log fO_2$  圖를 適用할수가 있다. 이 圖面에는  $Fe_{S_2}/F_3O_4$ ,  $FeS/Fe_3O_4$ ,  $ZnS/Zn_2SiO_4$ ,  $PbS/PbSO_4$ 等의 關係가 包含되어 있어 蓮花礦山의 鉛亞鉛硫化物에 對해서도 알아볼수가 있다. 卽 硫化銅礦物은 黃鐵石·磁鐵石의 平衡線보다 높은  $fS_2$ 領域에서 安定하며 磁硫鐵石과 密接히 隨伴되는 硫化鉛·亞鉛礦物은 이들 平衡線보다 낮은  $fS_2$ 에 位置하여 보다 넓은  $fO_2-fS$ 領域에서 安定하나 地質學의 으로 現實的인  $fO_2-fS$ 下에서 硫化銅礦物과 硫化鉛·亞鉛礦物이 安定하게 共存할수 없고 매우 높은  $fS_2-fO_2$ 下에서만 共存의 可能함을 알수 있다.

## 6. 要約과 結論

太白山 矿化帶의 中間部에 位置하고 있는 巨道礦山과 蓮花礦山은 서로 相違한 礦種 卽 鐵스카른, 銅스카른 및 鉛·亞鉛스카른으로 矿化되어 있어 다음과 같은 스카른/鎌石礦物의 隨伴關係를 特徵지어진다.

1. 蓮花礦山에서는 礦體의 下部로 부터 上부를 向하여 柏榴石/輝石帶, 輝石帶 및 菱閃石帶로 帶狀分布를 이루며 閃亞鉛石, 方鉛石은 輝石帶에 보다 豐富히 隨伴된다.

2. 巨道壯山礦體에서는 局部의 으로 礦體內에서 外側으로 向하여 磁鐵石帶, 磁鐵石/柏榴石帶, 柏榴石/輝石帶, 斜輝石/斜長石/綠簾石帶의 順으로 帶狀分布를 이루며 磁鐵石은 柏榴石帶에 隨伴된다.

3. 78礦體에서는 石英斑岩側에서 石灰岩側으로 向하여 正長石/綠簾石帶, 斜輝石/綠簾石帶, 柏榴石/斜輝石帶의 順으로 帶狀分布를 보이며 硫化銅礦物은 斜輝石/柏榴石帶에 隨伴된다.

## 4. 스카른礦物의 化學成分은

a. 蓮花鉛·亞鉛스카른에서는 Mn含量이 높은 Clinopyroxene(Hd 25~78%, Jo 15~23%)과 Grandite garnet(Ad 13~97%, Sp<24%)로 特徵지어지는데 比해

b. 巨道礦山의 鐵스카른에서는 Mg含量이 높은 Clinopyroxene(Di 78~93%), Ca, Al含量이 높은 Grossular에 가까운(Gr 65~77%) Grandite로 代表되며

c. 巨道78의 銅스카른에서는 Clinopyroxene은 Diopside에 가까우나(Di 66~91%) Garnet는 Andradite에 치우치는 Grandite(Ad 40~95%)로 特徵지어진다.

이들 3種의 스카른 礦床에서 나타나는 스카른礦物의 組合과 化學成分上の 特徵을 外國의 類似 礦床과 比較하면 많은 共通點이 發見된다.

이러한 礦物組合과 化學成分을 토대로 上記 3種의 礦床에 있어서의 礦物相의 平衡關係를 定量的 相律圖의 適用으로 解析할수 있는바 巨道壯山鐵스카른의 安定域은  $X CO_2$ 를 0.05로 推定할때 生成溫度의 上限은 500°C이고 下限은 400°C를 若干下廻할 것이며 巨道78銅스카른과 蓮花鉛·亞鉛스카른의 安定域은  $X CO_2$ 의 값이 높아지고 生成溫度의 上限이 400°C까지 떨어진 것으로 解析된다. 또한 硫化銅礦物은 黃鐵石·磁鐵石平衡線보다 높은  $fS_2$ 領域에서 安定하나 硫化鉛·亞鉛礦物은 黃鐵石·磁鐵石平衡線보다 낮은  $fS_2$ 領域에서 安定함으로 現實的인  $fS_2-fO_2$ 下에서는 安定하게 共存할수 없음을 알수 있다.

## 謝 謝

本研究는 1980年度 文教部 學術研究助成費에 依하여 이루어졌다. 野外調查를 為해 便宜를 提供해 주신 咸太炭礦 金正洙所長 巨道礦山 李外奉所長, 金大中課長에게 感謝드리며 스카른礦物의 電子線分析을 協助해 주신 日本早稻田大學 今井教授, 掘居氏, 木內氏에게 謝意를 表한다.

## 參 考 文 獻

- 張浩完·朴箕和, 1982, 巨道礦山 Fe-Cu 스카른 礦床의 岩石礦床學의 成因研究: 동력자원연구소 조사연구 보고 14호, p.129~155.
- 尹碩奎·朴商範, 1979, 太白山 矿化帶 東西部 鉛亞鉛 礦床群의 一般特徵 및 探查에 關한 研究: 자원개발연구소 조사연구보고 7호, p.45~86.
- 韓甲洙 1969, 蓮花礦山의 地質과 礦床: 礦山地質 2卷, p.47~57.
- Burt, 1972a, Mineralogy and geochemistry of Ca-Fe-Si skarn deposits: unpub. Ph. D. thesis, Harvard Univ., 256 p.
- Burton, J. C., Taylor, L. A., and Chou, I. M., 1982, The  $fO_2-T$  and  $fS_2-T$  stability relations of hedenbergite and of hedenbergite-Johansenite solid solutions: Econ. Geol., v. 77, p.764~783.
- Einaudi, M. T., and Burt, D. M., 1982. Introduction,

- terminology, classification, and composition of skarn deposits: *Econ. Geol.*, v. 77, p.745-754.
- Einaudi, M. T., Meinert, L. D., and Newberry, R. J., 1981. Skarn deposits: *Econ Geol.*, 75th Ann. Vol., p.317-391.
- Farrar, E., Clark, A. H., and O. J. Kim, 1978. Age of the Sangdong tungsten deposits, Republic of Korea, and its bearing on the metallogenesis of the southern Korean Peninsula: *Econ Geol.*, v. 73, p. 547-552.
- Gamble, R. P., 1982. An experimental study of sulfidation reactions involving andradite and hedenbergite: *Econ. Geol.*, v. 77, p.784-797.
- Gordon, T. M. and Greenwood, H. J., 1971. The stability of grossularite in H-O-CO mixture: *Am. Mineralogist*, v. 56, p.1674-1688.
- Haug, J. L. 1976. Geology of the Merry Widow and Kingfisher contact metasomatic skarn-magnetite deposits, northern Vancouver island, British Columbia: unpub. M. S. thesis, Univ. Calgary, 117 p.
- Helgeson, H. C., Delany, J. M., Nesbitt, H. W., and Bird, D. K., 1978. Summary and critique of the thermodynamic properties of rock-forming minerals: *Am. Jour. Sci.*, v. 278A, p. 1-229.
- Holland, H. D., 1965. Some applications of thermochanical data to problems of ore deposits, II, Mineral assemblages and the compositions of ore-forming fluids: *Econ. Geol.*, v. 60, p. 1101-1166.
- Kim, O. J., 1971. Study on the intrusion epochs of younger granites and their bearing to orogenesis in South Korea: *Jour. Korea Inst. Mining Geol.*, v. 4, p.1-9.
- Kitamura, K., 1975. Al-Fe partitioning between garnet and epidote from the contact metasomatic copper deposits of the Chichibu mine, Japan: *Econ. Geol.*, v. 70, p.725-738.
- Liou, J. G., 1974. Stability relations of andradite-quartz in the system Ca-Fe-Si-O-H: *Am. Mineralogist*, v. 59, p.1016-1025.
- Lusk, J., and Ford, C. E., 1978. Experimental extension of the sphalerite geobarometer to 10 Kbar: *Am. Mineralogist*, v. 63, p.516-519.
- Shimizu, M., and Iiyama, J. T., 1982. Zinc-lead skarn deposits of the Nakatatsu mine, Central Japan: *Econ. Geol.*, v. 77, p.1000-1012.
- Sweeney, M. J., 1980. Geochemistry of garnets from the north ore shoot, Bingham district, Utah: unpub. M. S. thesis, Univ. Utah, 154 p.
- Taylor, B. E., and Liou, J. G., 1978. The low-temperature stability of andradite in C-O-H fluids: *Am. Mineralogist*, v. 63, p.398-393.
- Uchida, E., and Iiyama, J. T., 1982. Physicochemical study of skarn formation in the Shinyama iron-copper ore deposits of the Kamaishi mine, northeastern Japan: *Econ. Geol.*, v. 79, p. 809-822.
- Yun, S., 1978, Petrography, chemical composition, and depositional environments of the Cambro-Orдовician sedimentary sequence in the Yeonhwa I mine area, southeastern Taebaegsan region, Korea: *J. Geol. Soc. Korea*, v. 14, p.145-174.
- Yun, S., 1979a. Geology and skarn ore mineralization of the Yeonhwa-Ulchin zinc-lead mining district, southeastern Taebaegsan region, Korea: unpub. Ph. D. thesis, Stanford Univ., California, 306 p.
- Yun, S., 1979b. Structural and compositional characteristics of skarn zinc-lead deposits in the Yeonhwa-Ulchin mining district, southeastern Taebaegsan region, Korea, Part I, The Yeonhwa I Mine: *Jour. Korea Inst. Mining Geol.*, v. 12, p. 51-73.
- Yun, S., 1979c. Structural and compositional characteristics of skarn zinc-lead deposits in the Yeonhwa-Ulchin mining district, southeastern Taebaegsan region, Korea, Part II: The Yeonhwa II: Mine: *Jour. Korea Inst. Mining Geol.*, v. 12, p. 147-176.
- Yun, S., and M. T. Einandi, 1982. Zinc-lead skarns of the Yeonhwa-Ulchin district, South Korea: *Econ Geol.*, v. 77, p.1013-1032.
- Zharikov, V. A., 1970. Skarns: *Internat. Geology Rev.*, v. 12, p.541-559, 619-547, 760-775.